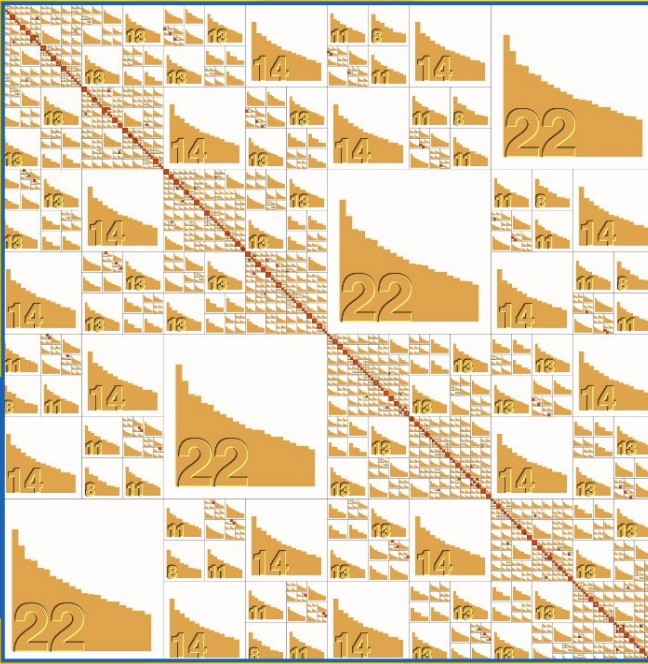


Wolfgang Hackbusch



Hierarchische Matrizen

Algorithmen und Analysis



Springer

Hierarchische Matrizen

W. Hackbusch

Hierarchische Matrizen

Algorithmen und Analysis

 Springer

Wolfgang Hackbusch
Max-Planck-Institut für Mathematik in den
Naturwissenschaften
Abteilung Wissenschaftliches
Rechnen
Inselstr. 22-26
04103 Leipzig
Deutschland
wh@mis.mpg.de

ISBN 978-3-642-00221-2 e-ISBN 978-3-642-00222-9
DOI 10.1007/978-3-642-00222-9
Springer Dordrecht Heidelberg London New York

Die Deutsche Nationalbibliothek verzeichnet diese Publikation in der Deutschen Nationalbibliografie; detaillierte bibliografische Daten sind im Internet über <http://dnb.d-nb.de> abrufbar.

Mathematics Subject Classification (2000): 65F05, 65F30, 65F50, 65F10, 15A09, 15A24, 15A99, 15A18, 47A56, 68P05, 65N22, 65N38, 65R20, 45B05

© Springer-Verlag Berlin Heidelberg 2009

Dieses Werk ist urheberrechtlich geschützt. Die dadurch begründeten Rechte, insbesondere die der Übersetzung, des Nachdrucks, des Vortrags, der Entnahme von Abbildungen und Tabellen, der Funksendung, der Mikroverfilmung oder der Vervielfältigung auf anderen Wegen und der Speicherung in Datenverarbeitungsanlagen, bleiben, auch bei nur auszugsweiser Verwertung, vorbehalten. Eine Vervielfältigung dieses Werkes oder von Teilen dieses Werkes ist auch im Einzelfall nur in den Grenzen der gesetzlichen Bestimmungen des Urheberrechtsgesetzes der Bundesrepublik Deutschland vom 9. September 1965 in der jeweils geltenden Fassung zulässig. Sie ist grundsätzlich vergütungspflichtig. Zuwiderhandlungen unterliegen den Strafbestimmungen des Urheberrechtsgesetzes.

Die Wiedergabe von Gebrauchsnamen, Handelsnamen, Warenbezeichnungen usw. in diesem Werk berechtigt auch ohne besondere Kennzeichnung nicht zu der Annahme, dass solche Namen im Sinne der Warenzeichen- und Markenschutz-Gesetzgebung als frei zu betrachten wären und daher von jedermann benutzt werden dürften.

Einbandentwurf: WMXDesign GmbH, Heidelberg

Printed on acid-free paper

Springer ist Teil der Fachverlagsgruppe Springer Science+Business Media (www.springer.com)

Meiner Frau Ingrid gewidmet

Vorwort

Operationen mit großen Matrizen werden in der Numerik weitgehend vermieden. Stattdessen wird in der Regel versucht, alle Algorithmen auf Matrix-Vektor-Multiplikationen zurückzuführen. Der Grund ist der hohe Aufwand von z.B. $\mathcal{O}(n^3)$ Gleitkommaoperationen für eine Multiplikation von $n \times n$ -Matrizen. Beginnend mit dem Strassen-Algorithmus wurde versucht, den Aufwand auf $\mathcal{O}(n^\gamma)$ mit $\gamma < 3$ zu reduzieren. Diese Bemühungen können aber nicht zum Ziel führen, da die theoretische untere Schranke $\gamma \geq 2$ besteht, und selbst quadratischer Aufwand bei großskaligen Matrizen inakzeptabel ist.

Dass die Matrixoperationen im hier beschriebenen \mathcal{H} -Matrix-Format trotzdem mit fast linearem Aufwand $\mathcal{O}(n \log^* n)$ ausführbar sind, ist kein Widerspruch zu der vorherigen Aussage, da oben die exakte Berechnung unterstellt wird, während die \mathcal{H} -Matrix-Operationen Approximationen enthalten. Die Approximationsfehler sind jedoch akzeptabel, da großskalige Matrizen von Diskretisierungen stammen, die ohnehin Diskretisierungsfehler enthalten. Die mit der \mathcal{H} -Matrix-Technik ermöglichten Operationen sind nicht nur die Matrixaddition und -multiplikation, sondern auch die Matrixinversion und die LU- oder Cholesky-Zerlegung.

Verwendet man die \mathcal{H} -Matrix-Technik zur Lösung von linearen Gleichungssystemen, so nimmt sie eine Stellung zwischen direkten Verfahren und Iterationsverfahren ein. Auf der einen Seite kann die approximative Inverse oder LU-Zerlegung mit wählbarer Genauigkeit bestimmt und damit das Gleichungssystem gelöst werden. Auf der anderen Seite reicht eine Inverse oder LU-Zerlegung mit mäßiger Genauigkeit, um eine schnelle Iteration zu konstruieren.

Hat man die Matrixoperationen zur Verfügung, lässt sich eine wesentlich größere Problemklasse behandeln, als dass mit der Beschränkung auf Matrix-Vektor-Multiplikationen möglich ist. Hierzu gehören die Berechnung von matrixwertigen Funktionen, zum Beispiel der Matrix-Exponentialfunktion, und die Lösung von Matrixgleichungen, etwa der Riccati-Gleichung.

Die approximative Durchführung der Operationen kann nur erfolgreich sein, wenn der Aufwand für eine Genauigkeit ε nur schwach mit $\varepsilon \rightarrow 0$ wächst.

Für die Inversen von Diskretisierungsmatrizen elliptischer Randwertprobleme und für zugehörige Randintegralgleichungen lässt zeigen, dass der Aufwand nur logarithmisch von ε abhängt. Für allgemeine, große Matrizen ist diese Aussage falsch, d.h. die \mathcal{H} -Matrix-Technik ist nicht für allgemeine Matrizen anwendbar. Trotzdem zeigen numerische Tests ein sehr robustes Verhalten. Für die praktische Durchführung ist es zudem sehr wichtig, dass die \mathcal{H} -Matrix-Technik in hohem Maße blackbox-artig ist.

Die Tatsache, dass nicht alle Matrizen (mit verbessertem Aufwand) dargestellt werden können, entspricht nicht dem klassischen Verständnis der Linearen Algebra. Dort ist man es gewohnt, dass Verfahren möglichst auf sämtliche Elemente eines endlichdimensionalen Vektorraumes anwendbar sind. Andererseits ist der Approximationsgedanke der Ursprung der Analysis. Da die Objekte wie zum Beispiel Funktionen im Allgemeinen unendlich viele Daten enthalten, verwendet man seit Anbeginn der Analysis Approximation aufgrund von partiellen Informationen (Beispiel Interpolation), wobei man in Kauf nimmt, dass die Approximation nur unter geeigneten Glattheitsvoraussetzungen möglich ist.

Die \mathcal{H} -Matrix-Technik beruht auf drei verschiedenen Komponenten. Die *erste, analytische Komponente* ist die lokale, separable Approximation der Greenschen Funktion beziehungsweise der Integralkernfunktion. Derartige Techniken sind in der Vergangenheit in verschiedenen Versionen bei der Behandlung diskreter Integraloperatoren angewandt worden: bei der Paneel-Clusterungstechnik, bei Multipolentwicklungen, aber auch bei der Matrixkompression von Wavelet-Matrizen. Nur mit Hilfe dieser Techniken kann die Matrix-Vektor-Multiplikation mit der an sich vollen Matrix in fast linearem Aufwand durchgeführt werden. Die *zweite Komponente* gehört der linearen Algebra an. Techniken der Singulärwertzerlegung und der QR-Zerlegung spielen eine wichtige Rolle bei der Organisation der lokalen Matrixdaten. Die *dritte Komponente* betrifft die diskreten Strukturen. Die ersten beiden Komponenten werden auf Teilmatrizen angewandt. Die geeignete Partition der Matrix in Teilmatrizen der richtigen Größe ist für die Matrixoperationen der entscheidende Schritt. Die diskreten Strukturen stellen sich in Form von Bäumen, den Cluster- und Blockclusterbäumen dar.

Ziel dieser Monographie ist die umfassende Einführung in die Technik hierarchischer Matrizen. Da diese insbesondere für die großskaligen Matrizen aus dem Umfeld von Randwertaufgaben entwickelt worden sind, muss auch knapp auf die Diskretisierung von Randwertaufgaben und auf die Randintegralmethode eingegangen werden. Den oben aufgezählten, sehr unterschiedlichen Komponenten entsprechend widmen sich die ersten Kapitel den verschiedenen Fragen zur Analysis, zur Linearen Algebra und den Strukturen, die dann die Grundlage der Algorithmen bilden. Um die Kapitel einerseits nicht zu umfangreich werden zu lassen und andererseits hinreichend Hintergrundmaterial bereitzustellen, enthält das Buch fünf Anhänge. Hier findet der Leser den benötigten Hintergrund zu Themen aus dem Hauptteil.

Das letzte Kapitel gibt einen kleinen Einstieg in die Behandlung großskaliger Tensoren. Hier werden nur Anwendungen angesprochen, die direkt mit hierarchischen Matrizen verbunden sind. Andererseits besteht die herausfordernde Aufgabe, die im Umfeld der hierarchischen Matrizen entwickelten Techniken auf Tensoren zu übertragen. Da der Speicher- und Rechenaufwand bei großskaligen Tensoren den Anwender vor noch größere Schwierigkeiten als bei Matrizen stellt, sind geeignete Darstellungsmethoden und Algorithmen zur Approximation der Operationen dringend erforderlich. Die in diesem Bereich erzielten Resultate passen thematisch nicht in diese Monographie und gäben Stoff für ein weiteres Buch.

In zahlreichen Hinweisen wird verbal auf Details der Implementierung eingegangen. Eine konkrete Beschreibung der in C geschriebenen Algorithmen wird hier vermieden, da hierfür die Lecture Notes [26] und ein zukünftiges, hieraus hervorzugehendes Buchprojekt heranzuziehen sind. Letzteres ist auch ein besserer Platz für konkrete numerische Beispiele und Vergleiche.

Lesehinweis: Unterkapitel, die mit einem Stern* versehen sind, können beim ersten Lesen übersprungen werden, da sie eher der thematischen Vertiefung dienen.

Algorithmen sind in einer Notation angegeben, die sich an Algol und Pascal anlehnt. Man beachte, dass die geschweiften Klammern Kommentare enthalten. Der Einfachheit halber werden die Parameter nicht mit einer Typenbeschreibung versehen, sondern verbal erklärt. Für die (wenigen) Hilfsvariablen wird ebenfalls keine explizite Spezifikation gegeben, da sie sich aus dem Zusammenhang ergibt.

Der Autor entwickelte die Technik der hierarchischen Matrizen Ende der 90er Jahre. Die erste Arbeit [69] hierzu erschien 1999. Ein wesentlicher Schritt war die Implementierung der Methode in der Dissertation [50] von Dr. L. Grasedyck, die 2001 verteidigt wurde. Die Grundlagen zu dieser Monographie wurde durch Manuskripte zu Vorlesungen an der Universität Leipzig (Sommersemester 2004 und Wintersemester 2006/7) und an der Christian-Albrechts-Universität zu Kiel (Sommersemester 2004) gelegt. Das Material wurde entscheidend anreichert durch die Beiträge der Drs. S. Börm, M. Bebendorf, R. Kriemann und B. Khoromskij. Insgesamt sind zum Thema der hierarchischen Matrizen und seinem Umfeld zwei Dissertationen und eine Habilitationsarbeit an der Christian-Albrechts-Universität zu Kiel und vier Dissertationen und eine Habilitationsarbeit an der Universität Leipzig geschrieben worden. Die neuartigen Möglichkeiten, die die \mathcal{H} -Matrix-Technik bietet, haben zu einem Programmpaket \mathcal{H} -Lib^{pro} geführt, das für kommerzielle Zwecke zur Verfügung steht (siehe <http://www.scai.fraunhofer.de/hlibpro.html>).

Neben den oben Genannten danke ich Dr. L. Banjai, Dr. Wendy Kreß, Prof. Sabine Le Borne, Dr. Maike Löhndorf, Prof. J.M. Melenk, Prof. S. Sauter, sowie weiteren Mitarbeitern und Gästen des Leipziger Max-Planck-Institutes, die wesentlich zum Inhalt dieses Buches beigetragen haben. Herrn Dr. Ronald Kriemann gilt mein Dank für die Gestaltung des Umschlagbildes.

Dem Springer-Verlag danke ich für die unkomplizierte Kooperation bei der Fertigstellung dieses Werkes.

November 2008

Wolfgang Hackbusch

Inhaltsverzeichnis

1	Einleitung	1
1.1	Was ist die zu lösende Aufgabe, wo liegen die Schwierigkeiten?	1
1.1.1	Aufgabenbeispiele	1
1.1.2	Größenordnung der Dimension	3
1.1.3	Exakte oder näherungsweise Berechnung	3
1.2	Komplexität der Algorithmen	3
1.2.1	Komplexität	3
1.2.2	Warum braucht man (fast) lineare Komplexität für großskalige Probleme?	5
1.3	Zugrundeliegende Strukturen und Implementierungsdarstellungen	6
1.3.1	Vektor- und Matrixnotation	6
1.3.2	Implementierungsdarstellungen	7
1.3.3	Darstellungen und Operationen	12
1.4	In welchen Fällen ist lineare Komplexität erreichbar?	13
1.4.1	Familie der Diagonalmatrizen	13
1.4.2	Anwendung der schnellen Fourier-Transformation	13
1.4.3	Schwierigkeiten in anderen Fällen	14
1.5	Wo entstehen großskalige Probleme?	15
1.5.1	Diskretisierung elliptischer Differentialgleichungen	15
1.5.2	Integralgleichungen und ihre Diskretisierung	17
1.6	Angeordnete bzw. nicht angeordnete Indexmengen	21
1.6.1	Indexmengen	21
1.6.2	Vektoren $x \in \mathbb{R}^I$	22
1.6.3	Matrizen $A \in \mathbb{R}^{I \times I}$	22
1.6.4	Anordnung bzw. Nichtanordnung bei hierarchischen Matrizen	23
1.7	Übersicht über die weiteren Kapitel	23
1.7.1	Lokale Rang- k -Matrizen	23
1.7.2	Hierarchie und Matrixoperationen	24

2	Rang-k-Matrizen	25
2.1	Allgemeines	26
2.2	Darstellung und Kosten	26
2.3	Operationen und ihre Kosten	28
2.4	Bestapproximation durch Rang- k -Matrizen	30
2.5	Bestapproximation von Rang- ℓ -Matrizen durch Rang- k - Matrizen	33
2.6	Rang- k -Matrix-Addition mit anschließender Kürzung	35
2.6.1	Formatierte Addition	35
2.6.2	Formatierte Agglomeration	36
2.6.3	Mehr als zwei Terme	36
2.6.4	Stufenweise ausgeführte Agglomeration	38
2.7	Varianten der Rang- k -Matrixdarstellungen	39
2.7.1	AKB-Darstellung	39
2.7.2	SVD-Darstellung	41
3	Einführendes Beispiel	43
3.1	Das Modellformat \mathcal{H}_p	43
3.2	Zahl der Blöcke	44
3.3	Speicheraufwand	45
3.4	Matrix-Vektor-Multiplikation	45
3.5	Matrix-Addition	45
3.6	Matrix-Matrix-Multiplikation	46
3.7	Matrixinversion	48
3.8	LU-Zerlegung	49
3.8.1	Vorwärtssubstitution	49
3.8.2	Rückwärtssubstitution	50
3.8.3	Aufwand der LU-Zerlegung	50
3.9	Weitere Eigenschaften der Modellmatrizen und Semiseparabilität *	51
4	Separable Entwicklung und ihr Bezug zu Niedrigrangmatrizen	55
4.1	Grundbegriffe	56
4.1.1	Separable Entwicklungen	56
4.1.2	Exponentielle Konvergenz	57
4.1.3	Zulässigkeitsbedingungen an X, Y	59
4.2	Separable Polynom-Entwicklungen	60
4.2.1	Taylor-Entwicklung	60
4.2.2	Interpolation	62
4.2.3	Exponentielle Fehlerabschätzung	63
4.2.4	Asymptotisch glatte Kerne	64
4.2.5	Taylor-Fehlerabschätzung	65
4.2.6	Interpolationsfehler für $d = 1$	66
4.2.7	Verschärfte Fehlerabschätzung	68

4.2.8	Interpolationsfehler für $d > 1$	69
4.3	Weitere separable Entwicklungen	70
4.3.1	Andere Interpolationsverfahren *	70
4.3.2	Transformationen *	70
4.3.3	Stückweise separable Entwicklung *	71
4.3.4	Kerne, die von $x - y$ abhängen	72
4.3.5	L -harmonische Funktionen *	72
4.3.6	Separable Entwicklungen mittels Kreuzapproximation *	73
4.3.7	Die optimale separable Entwicklung	73
4.4	Diskretisierung von Integraloperatoren mit separablen Kernfunktionen	74
4.4.1	Einführung: Separable Entwicklung und Galerkin- Diskretisierung	74
4.4.2	Separable Entwicklung und allgemeine Diskretisierungen *	76
4.5	Approximationsfehler *	78
4.5.1	Operatornormen	78
4.5.2	Matrixnormen	79
4.5.3	Sachgerechte Normen	81
5	Matrixpartition	83
5.1	Einleitung	83
5.1.1	Ziele	83
5.1.2	Eindimensionales Modellbeispiel	84
5.2	Zulässige Blöcke	85
5.2.1	Metrik der Cluster	85
5.2.2	Zulässigkeit	87
5.2.3	Verallgemeinerte Zulässigkeit	89
5.2.4	Erläuterung am Beispiel aus §5.1.2	90
5.3	Clusterbaum $T(I)$	91
5.3.1	Definitionen	91
5.3.2	Beispiel	92
5.3.3	Blockzerlegung eines Vektors	93
5.3.4	Speicherkosten für $T(I)$	94
5.4	Konstruktion des Clusterbaums $T(I)$	96
5.4.1	Notwendige Daten	96
5.4.2	Geometriebasierte Konstruktion mittels Minimalquader	97
5.4.3	Kardinalitätsbasierte Konstruktion	101
5.4.4	Implementierung und Aufwand	101
5.4.5	Auswertung der Zulässigkeitsbedingung	102
5.5	Blockclusterbaum $T(I \times J)$	104
5.5.1	Definition des stufentreuen Blockclusterbaums	104
5.5.2	Verallgemeinerung der Definition	105
5.5.3	Alternative Konstruktion von $T(I \times J)$ aus $T(I)$ und $T(J)$	107

5.5.4	Matrixpartition	108
5.5.5	Beispiele	111
5.6	Alternative Clusterbaumkonstruktionen und Partitionen	112
6	Definition und Eigenschaften der hierarchischen Matrizen	113
6.1	Menge $\mathcal{H}(k, P)$ der hierarchischen Matrizen	113
6.2	Elementare Eigenschaften	115
6.3	Schwachbesetztheit und Speicherbedarf	116
6.3.1	Definition	116
6.3.2	Speicherbedarf einer hierarchischen Matrix	118
6.4	Abschätzung von C_{sp}^*	120
6.4.1	Erster Zugang	120
6.4.2	Abschätzung zu Konstruktion (5.30)	123
6.4.3	Anmerkung zu Konstruktion (5.34)	127
6.5	Fehlerabschätzungen	128
6.5.1	Frobenius-Norm	128
6.5.2	Vorbereitende Lemmata	128
6.5.3	Spektralnorm	135
6.5.4	Norm $\ \cdot \ $	136
6.6	Adaptive Rangbestimmung	138
6.7	Rekompressionstechniken	140
6.7.1	Kompression durch $\mathcal{T}_\varepsilon^{\mathcal{H}}$	140
6.7.2	Vergrößerung der Blöcke	141
6.8	Modifikationen des \mathcal{H} -Matrixformates	141
6.8.1	\mathcal{H} -Matrizen mit Gleichungsnebenbedingungen	141
6.8.2	Positive Definitheit	143
6.8.3	Positivität von Matrizen	144
6.8.4	Orthogonalität von Matrizen	146
7	Formatierte Matrixoperationen für hierarchische Matrizen	147
7.1	Matrix-Vektor-Multiplikation	148
7.2	Kürzungen und Konvertierungen	148
7.2.1	Kürzungen $\mathcal{T}_{k \leftarrow \ell}^{\mathcal{R}}$, $\mathcal{T}_k^{\mathcal{R}}$ und $\mathcal{T}_{k \leftarrow \ell}^{\mathcal{H}}$	148
7.2.2	Agglomeration	150
7.2.3	Konvertierung $\mathcal{T}_k^{\mathcal{R} \leftarrow \mathcal{H}}$	150
7.2.4	Konvertierung $\mathcal{T}_{P' \leftarrow P}^{\mathcal{H} \leftarrow \mathcal{H}}$	152
7.2.5	Konvertierung $\mathcal{T}_{P' \leftarrow P}^{\mathcal{H} \leftarrow \mathcal{H}}$ bei unterschiedlichen Blockclusterbäumen *	152
7.3	Addition	154
7.4	Matrix-Matrix-Multiplikation	155
7.4.1	Komplikationen bei der Matrix-Matrix-Multiplikation ..	155
7.4.2	Algorithmus im konsistenten Fall	157
7.4.3	Algorithmus im stufentreuen Fall	167
7.5	Matrix-Inversion	170
7.5.1	Rekursiver Algorithmus	170

7.5.2	Alternativer Algorithmus mittels Gebietszerlegung	172
7.5.3	Newton-Verfahren	172
7.6	LU- bzw. Cholesky-Zerlegung	173
7.6.1	Format der Dreiecksmatrizen	173
7.6.2	Auflösung von $LUx = b$	174
7.6.3	Matrixwertige Lösung von $LX = Z$ und $XU = Z$	176
7.6.4	Erzeugung der LU- bzw. Cholesky-Zerlegung	177
7.7	Hadamard-Produkt	178
7.8	Aufwand der Algorithmen	179
7.8.1	Matrix-Vektor-Multiplikation	179
7.8.2	Matrix-Addition	179
7.8.3	Matrix-Matrix-Multiplikation	180
7.8.4	Matrix-Inversion	188
7.8.5	LU- bzw. Cholesky-Zerlegung	189
8	\mathcal{H}^2-Matrizen	191
8.1	Erster Schritt: $M _b \in \mathcal{V}_b \otimes \mathcal{W}_b$	191
8.2	Zweiter Schritt: $M _{\tau \times \sigma} \in \mathcal{V}_\tau \otimes \mathcal{W}_\sigma$	195
8.3	Definition der \mathcal{H}^2 -Matrizen	197
8.3.1	Definition	197
8.3.2	Transformationen	197
8.3.3	Speicherbedarf	199
8.3.4	Projektion auf \mathcal{H}^2 -Format	200
8.4	Hinreichende Bedingungen für geschachtelte Basen	202
8.4.1	Allgemeiner Fall	202
8.4.2	Beispiel: Approximation von Integraloperatoren durch Interpolation	203
8.5	Matrix-Vektor-Multiplikation mit \mathcal{H}^2 -Matrizen	204
8.5.1	Vorwärtstransformation	204
8.5.2	Multiplikationsphase	205
8.5.3	Rücktransformation	206
8.5.4	Gesamtalgorithmus	206
8.6	\mathcal{H}^2 -Matrizen mit linearem Aufwand	207
8.7	Adaptive Bestimmung der \mathcal{H}^2 -Räume \mathcal{V}_τ und \mathcal{W}_σ	209
8.8	Matrix-Matrix-Multiplikation von \mathcal{H}^2 -Matrizen	213
8.8.1	Multiplikation bei gegebenem \mathcal{H}^2 -Format	213
8.8.2	Multiplikation bei gesuchtem \mathcal{H}^2 -Format	214
8.9	Numerisches Beispiel	215
9	Verschiedene Ergänzungen	217
9.1	Konstruktion schneller Iterationsverfahren	217
9.2	Modifizierte Clusterbäume für schwach besetzte Matrizen	219
9.2.1	Problembeschreibung	219
9.2.2	Finite-Element-Matrizen	220
9.2.3	Separierbarkeit der Matrix	222

9.2.4	Konstruktion des Clusterbaums	224
9.2.5	Anwendung auf Invertierung	226
9.2.6	Zulässigkeitsbedingung	226
9.2.7	LU-Zerlegung	227
9.2.8	\mathcal{H} -Matrixeigenschaften der LU-Faktoren	228
9.2.9	Geometriefreie Konstruktion der Partition	231
9.3	Schwache Zulässigkeit	232
9.3.1	Definition und Abschätzungen	232
9.3.2	Beispiel $k(x, y) = \log x - y $	234
9.3.3	Zusammenhang mit der Matrixfamilie $\mathcal{M}_{k,\tau}$	235
9.4	Kreuzapproximation	238
9.4.1	Basisverfahren und theoretische Aussagen	238
9.4.2	Praktische Durchführung der Kreuzapproximation	239
9.4.3	Adaptive Kreuzapproximation	241
9.4.4	Erzeugung separabler Entwicklungen mittels Kreuzapproximation	243
9.4.5	Die hybride Kreuzapproximation	245
9.5	Kriterien für Approximierbarkeit in $\mathcal{H}(k, P)$	246
9.6	Änderung der Matrizen bei Gitterverfeinerung	249
10	Anwendungen auf diskretisierte Integraloperatoren	251
10.1	Typische Integraloperatoren für elliptische Randwertaufgaben	251
10.1.1	Randwertproblem und Fundamentallösung	252
10.1.2	Einfach-Schicht-Potential für das Dirichlet-Problem	252
10.1.3	Direkte Methode, Doppelschicht-Operator	253
10.1.4	Hypersingulärer Operator	254
10.1.5	Calderón-Projektion	254
10.2	Newton-Potential	255
10.3	Randelementdiskretisierung und Erzeugung der Systemmatrix in hierarchischer Form	255
10.4	Helmholtz-Gleichung für hohe Frequenzen	257
10.5	Allgemeine Fredholm-Integraloperatoren	258
10.6	Anwendungen auf Volterra-Integraloperatoren	258
10.6.1	Diskretisierungen von Volterra-Integraloperatoren	258
10.6.2	Implementierung als Standard- \mathcal{H} -Matrix	260
10.6.3	Niedrigrangdarstellung von Profilmatrizen	261
10.6.4	Matrix-Vektor-Multiplikation	262
10.7	Faltungsgintegrale	265
11	Anwendungen auf Finite-Element-Matrizen	267
11.1	Inverse der Massematrix	267
11.2	Der Green-Operator und seine Galerkin-Diskretisierung	271
11.2.1	Das elliptische Problem	271
11.2.2	Die Green-Funktion	272
11.2.3	Der Green-Operator \mathcal{G}	272

11.2.4	Galerkin-Diskretisierung von \mathcal{G} und der Zusammenhang mit A^{-1}	273
11.2.5	Folgerungen aus separabler Approximation der Greenschen Funktion	275
11.3	Analysis der Greenschen Funktion	279
11.3.1	L -harmonische Funktionen und innere Regularität	280
11.3.2	Approximation durch endlich-dimensionale Unterräume	282
11.3.3	Hauptresultat	284
11.3.4	Anwendung auf die Randelementmethode	289
11.3.5	FEM-BEM-Kopplung	290
12	Inversion mit partieller Auswertung	291
12.1	Baum der Gebietszerlegung und zugehörige Spurabbildungen ..	292
12.2	Diskrete Variante - Übersicht	294
12.3	Details	295
12.3.1	Finite-Element-Diskretisierung und Matrixformulierung	295
12.3.2	Zerlegung der Indexmenge	297
12.3.3	Die Abbildung Φ_ω	298
12.3.4	Natürliche Randbedingung	298
12.3.5	Zusammenhang der Matrizen	299
12.3.6	Die Abbildung Ψ_ω	299
12.3.7	Konstruktion von Φ_ω aus Ψ_{ω_1} und Ψ_{ω_2}	300
12.3.8	Konstruktion von Ψ_ω aus Ψ_{ω_1} und Ψ_{ω_2}	303
12.4	Basisalgorithmus	304
12.4.1	Definitionsphase	304
12.4.2	Auswertungsphase	305
12.4.3	Homogene Differentialgleichung	306
12.5	Verwendung hierarchischer Matrizen	306
12.6	Partielle Auswertung	308
12.6.1	Basisverfahren	309
12.6.2	Realisierung mit hierarchischen Matrizen	310
12.6.3	Vergrößerung des Ansatzraumes für die rechte Seite ..	311
12.6.4	Berechnung von Funktionalen	311
13	Matrixfunktionen	313
13.1	Definitionen	313
13.1.1	Funktionserweiterung mittels Diagonalmatrizen	314
13.1.2	Potenzreihen	315
13.1.3	Cauchy-Integraldarstellung	316
13.1.4	Spezialfälle	317
13.2	Konstruktionen spezieller Funktionen	317
13.2.1	Approximation von Matrixfunktionen	317
13.2.2	Matrix-Exponentialfunktion	319
13.2.3	Inverse Funktion $1/z$	324
13.2.4	Anwendung von Newton-artigen Verfahren	328

13.3	\mathcal{H} -Matrix-Approximation	328
13.3.1	Matrix-Exponentialfunktion	328
13.3.2	Approximation nichtglatter Matrixfunktionen	328
14	Matrixgleichungen	329
14.1	Ljapunow- und Sylvester-Gleichung	330
14.1.1	Definition und Lösbarkeit	330
14.1.2	Andere Lösungsverfahren	331
14.2	Riccati-Gleichung	332
14.2.1	Definition und Eigenschaften	332
14.2.2	Lösung mittels der Signumfunktion	333
14.3	Newton-artige Verfahren zur Lösung nichtlinearer Matrixgleichungen	334
14.3.1	Beispiel der Quadratwurzel einer Matrix	334
14.3.2	Einfluss der Kürzung bei Fixpunktiterationen	335
15	Tensorprodukte	339
15.1	Tensor-Vektorraum	339
15.1.1	Notationen	339
15.1.2	Hilbert-Raum-Struktur	341
15.1.3	Datenkomplexität	341
15.2	Approximation im Tensorraum	341
15.2.1	k -Term-Darstellung	341
15.2.2	k -Term-Approximation	342
15.2.3	Darstellung mit Tensorprodukten von Unterräumen	343
15.3	Kronecker-Produkte von Matrizen	343
15.3.1	Definitionen	343
15.3.2	Anwendung auf die Exponentialfunktion	345
15.3.3	Hierarchische Kronecker-Tensorproduktdarstellung	346
15.4	Der Fall $d = 2$	346
15.4.1	Tensoren	346
15.4.2	Kronecker-Matrixprodukte	348
15.4.3	Komplexitätsbetrachtungen	349
15.4.4	HKT-Darstellung	350
15.5	Der Fall $d > 2$	351
15.5.1	Spezielle Eigenschaften	351
15.5.2	Inverse eines separablen Differentialoperators	353
A	Graphen und Bäume	355
A.1	Graphen	355
A.2	Bäume	356
A.3	Teilbäume	358
A.4	Bäume zu Mengengerlegungen	359

B	Polynome	363
	B.1 Multiindizes	363
	B.1.1 Notation	363
	B.1.2 Formelsammlung	363
	B.2 Polynomapproximation	364
	B.3 Polynominterpolation	366
	B.3.1 Eindimensionale Interpolation	366
	B.3.2 Tensorprodukt-Interpolation	369
C	Lineare Algebra, Funktionalanalysis,	
	Singulärwertzerlegung	371
	C.1 Matrixnormen	371
	C.2 Singulärwertzerlegung von Matrizen	373
	C.3 Hilbert-Räume, L^2 -Operatoren	377
	C.4 Singulärwertzerlegung kompakter Operatoren	379
	C.4.1 Singulärwertzerlegung	379
	C.4.2 Hilbert-Schmidt-Operatoren	381
	C.5 Abbildungen zu Galerkin-Unterräumen	383
	C.5.1 Orthogonale Projektion	383
	C.5.2 Unterraubasis, Prolongation, Restriktion, Massematrix	383
	C.5.3 Norm $\ \cdot \ $	385
	C.5.4 Bilinearformen, Diskretisierung	388
D	Sinc-Interpolation und -Quadratur	391
	D.1 Elementare Funktionen	391
	D.2 Interpolation	392
	D.2.1 Definitionen	392
	D.2.2 Stabilität der Sinc-Interpolation	393
	D.2.3 Abschätzungen im Streifen \mathfrak{D}_d	394
	D.2.4 Abschätzungen durch $e^{-CN/\log N}$	397
	D.2.5 Approximation der Ableitung	399
	D.2.6 Meromorphes f	399
	D.2.7 Andere Singularitäten	400
	D.3 Separable Sinc-Entwicklungen	400
	D.3.1 Direkte Interpolation	400
	D.3.2 Transformation und Skalierung	401
	D.3.3 Eine spezielle Transformation	403
	D.3.4 Beispiel $1/(x + y)$	404
	D.3.5 Beispiel $\log(x + y)$	408
	D.4 Sinc-Quadratur	409
	D.4.1 Quadraturverfahren und Analyse	409
	D.4.2 Separable Entwicklungen mittels Quadratur	411
	D.4.3 Beispiel: Integrand $\exp(-rt)$	412
	D.4.4 Beispiel: Integrand $\exp(-r^2 t^2)$	416

E	Asymptotisch glatte Funktionen	419
E.1	Beispiel $ x - y ^{-a}$	419
E.1.1	Richtungsableitungen	419
E.1.2	Gemischte Ableitungen	423
E.1.3	Analytizität	424
E.2	Asymptotische Glattheit weiterer Funktionen	425
E.3	Allgemeine Eigenschaften asymptotisch glatter Funktionen	427
E.3.1	Hilfsabschätzungen	428
E.3.2	Abschätzung für Richtungsableitungen	429
E.3.3	Aussagen für beschränkte Gebiete	430
E.3.4	Produkte asymptotisch glatter Funktionen	431
	Literaturverzeichnis	435
	Notationen	443
	Sachverzeichnis	447

Einleitung

1.1 Was ist die zu lösende Aufgabe, wo liegen die Schwierigkeiten?

1.1.1 Aufgabenbeispiele

Aufgaben der linearen Algebra treten bei verschiedensten Anwendungen auf. Im Zusammenhang mit Vektoren (z.B.¹ im \mathbb{R}^n) sind die Vektorraum-Operationen

$$\begin{aligned} x, y \in \mathbb{R}^n &\mapsto x + y \in \mathbb{R}^n, \\ \lambda \in \mathbb{R}, x \in \mathbb{R}^n &\mapsto \lambda x \in \mathbb{R}^n \end{aligned}$$

gefordert, was im Allgemeinen die geringsten Mühen bereitet.

Im Zusammenhang mit Matrizen (quadratischen $n \times n$ -Matrizen wie rechteckigen $n \times m$ -Matrizen) kann schon die *Abspeicherung* ein Problem darstellen, wenn n^2 bzw. nm groß sind.

Unter den Operationen mit Matrizen ist die häufigste die *Matrix-Vektor-Multiplikation*

$$A \in \mathbb{R}^{n \times m}, x \in \mathbb{R}^m \mapsto Ax \in \mathbb{R}^n, \quad (1.1)$$

die der Realisierung der mit A beschriebenen linearen Abbildung entspricht.

Da Matrizen einen Ring beschreiben, möchte man auch die Ringoperationen durchführen:

$$A, B \in \mathbb{R}^{n \times m} \mapsto A + B \in \mathbb{R}^{n \times m}, \quad (1.2)$$

$$A \in \mathbb{R}^{n \times m}, B \in \mathbb{R}^{m \times p} \mapsto A \cdot B \in \mathbb{R}^{n \times p} \quad (1.3)$$

¹ Für den zugrundeliegenden Körper nehmen wir im Folgenden stets \mathbb{R} an. Gelegentlich ist auch der Körper \mathbb{C} der komplexen Zahlen notwendig, aber die Verallgemeinerung auf \mathbb{C} bringt keine prinzipiell neuen Probleme, sodass eine Beschränkung auf \mathbb{R} Sinn macht. Völlig andersartige Körper wie z.B. \mathbb{Z}_p werden explizit ausgeschlossen, da man hierin exakt rechnen müsste, während im Folgenden Approximationen angewandt werden sollen.

(die Skalarmultiplikation $A \in \mathbb{R}^{n \times m}, \lambda \in \mathbb{R} \mapsto \lambda A \in \mathbb{R}^{n \times m}$ gehört auch dazu, ist aber nicht so bemerkenswert). Schließlich möchte man für reguläre Matrizen die Inverse berechnen:

$$A \in \mathbb{R}^{n \times n} \text{ regulär} \mapsto A^{-1} \in \mathbb{R}^{n \times n}. \quad (1.4)$$

Daneben gibt es weitere Aufgaben wie die *LU-Zerlegung*

$$\begin{aligned} A \in \mathbb{R}^{n \times n} \text{ regulär} &\mapsto A = LU, \\ L \text{ untere normierte und } U &\text{ obere Dreiecksmatrix,} \end{aligned} \quad (1.5a)$$

die eventuell um die Pivotisierung ergänzt werden muss, sowie die *Cholesky-Zerlegung*²

$$\begin{aligned} A \in \mathbb{R}^{n \times n} \text{ positiv definit} &\mapsto A = LL^T, \\ L \text{ untere Dreiecksmatrix mit } L_{ii} &> 0 \end{aligned} \quad (1.5b)$$

(vgl. Stoer [129, Abschnitte 4.1 und 4.3]).

Im Falle eines Gleichungssystems $Ax = b$ möchte man nicht die inverse Matrix berechnen, sondern nur das spezielle Bild $x = A^{-1}b$ ermitteln:

$$A \in \mathbb{R}^{n \times n} \text{ regulär, } b \in \mathbb{R}^n \mapsto x \in \mathbb{R}^n \text{ Lösung von } Ax = b. \quad (1.6)$$

Mitunter sind auch Funktionen von Matrizen von Interesse. Das bekannteste Beispiel ist die *Matrix-Exponentialfunktion*

$$A \in \mathbb{R}^{n \times n} \mapsto \exp(A) := \sum_{\nu=0}^{\infty} \frac{1}{\nu!} A^\nu. \quad (1.7)$$

Schließlich gibt es noch (lineare oder nichtlineare) Gleichungssysteme für Matrizen. Eine bekannte lineare Gleichung in X ist die *Ljapunow*³-*Gleichung*

$$AX + XA^T = B \quad (A, B \in \mathbb{R}^{n \times n} \text{ gegeben, } X \in \mathbb{R}^{n \times n} \text{ gesucht}). \quad (1.8)$$

Die *Riccati*⁴-*Gleichung*

$$AX + XA^T + XCX = B \quad (A, B, C \in \mathbb{R}^{n \times n} \text{ gegeben, } X \in \mathbb{R}^{n \times n} \text{ gesucht}) \quad (1.9)$$

ist quadratisch in X und daher nichtlinear.

² André Louis Cholesky (geb. 15.10.1875 in Montguyon bei Bordeaux, gest. am 31.8.1918) setzte dieses Verfahren für Kleinste-Quadrate-Probleme ein, die bei geodätischen Vermessungen auftraten. Sein Verfahren wurde posthum von Benoît [16] veröffentlicht. Eine Beschreibung des Verfahrens findet sich auf handschriftlichen Notizen von Cholesky datiert auf den 2.12.1910.

³ Aleksandr Michailowitsch Ljapunow, geboren am 6. Juni 1857 in Yaroslavl, gestorben am 3. Nov. 1918 in Odessa.

⁴ Jacopo Francesco Riccati, geboren am 28. Mai 1676 in Venedig, gestorben am 15. April 1754 in Treviso (Venezianische Republik).

1.1.2 Größenordnung der Dimension

Solange n eine feste, kleine Zahl ist, stellen die genannten Aufgaben (wenn sie nicht schlecht konditioniert sind) keine Schwierigkeit dar. Es gibt aber eine große Klassen von Problemen der Linearen Algebra, die aus der Diskretisierung partieller Differentialgleichungen oder verwandter Integralgleichungen resultieren. Vor der Diskretisierung sind die Aufgaben unendlich-dimensional. Der durch die Diskretisierung induzierte Fehler (der sogenannte *Diskretisierungsfehler*) geht gegen null, wenn die Dimension n gegen ∞ geht. Daher wird man versuchen, n so groß wie möglich zu wählen, und das heißt, so groß, dass der Rechner-Speicherplatz ausreicht und das Resultat der Rechnung in einer Zeitspanne geliefert wird, die akzeptabel ist. Man hat sich die Größenordnung $n = 10^6$ und mehr vorzustellen, und eventuell benötigt der Rechner mehrere Tage für die Ausführung.

1.1.3 Exakte oder näherungsweise Berechnung

Die oben aufgezählten Aufgaben fragen nach dem exakten Resultat der jeweiligen Operation. Legt man den Körper \mathbb{R} zugrunde, so ist offensichtlich, dass Rundungsfehler in der Größenordnung der relativen Maschinengenauigkeit ϵ_{ps} unvermeidbar sind. Viel entscheidender ist aber, dass wegen der in §1.1.2 angesprochenen Diskretisierung auch bei exakt ausgeführter linearer Algebra die Resultate nur Näherungen gegenüber der Lösung der eigentlichen partiellen Differentialgleichung darstellen. Wichtig ist in diesem Zusammenhang, dass der Diskretisierungsfehler ϵ_{Diskr} im Allgemeinen um Größenordnungen größer als ϵ_{ps} ist. Ein zusätzlicher Fehler infolge einer in-exakten Auswertung der algebraischen Operationen in der Größenordnung von ϵ_{Diskr} ist durchaus akzeptabel.

Die Tatsache, dass man beispielsweise ein Gleichungssystem (1.6) nicht exakt, sondern nur näherungsweise berechnen möchte, erlaubt iterative Verfahren, deren Iterationsfehler mit der Anzahl der Iterationsschritte und damit mit dem Rechenaufwand verbunden ist (vgl. Hackbusch [66]).

1.2 Komplexität der Algorithmen

Es reicht nicht aus zu wissen, dass ein Algorithmus prinzipiell durchführbar ist, sondern man muss auch sicherstellen, dass die Speicherkapazität und Rechengeschwindigkeit der zur Zeit verfügbaren Rechner ausreichen. Für diesen Zweck ist die Komplexität eines Algorithmus zu quantifizieren.

1.2.1 Komplexität

Sei $\Phi : x \in D \subset \mathbb{R}^n \mapsto y \in \mathbb{R}^m$ eine beliebige Abbildung. Ein Algorithmus \mathcal{A}_Φ zur Berechnung von $\Phi(x)$ ist eine Folge von *Elementaroperationen*,

die durch die Implementierung festgelegt werden. Unter der vereinfachenden Annahme, dass alle als Elementaroperationen zugelassenen Operationen die gleiche Rechenzeit benötigen, ist die Rechenzeit durch die Anzahl N_Φ der Elementaroperationen charakterisiert. Im Allgemeinen kann N_Φ vom Argument x abhängen, sodass man dann zur maximalen Anzahl $\sup_x N_\Phi(x)$ übergehen sollte.⁵

Anmerkung 1.2.1. Die Abbildung $\Phi : x \in D \subset \mathbb{R}^n \mapsto y \in \mathbb{R}^m$ sei in dem Sinne nichttrivial, dass $\Phi(x)$ von allen Eingabedaten (d.h. allen Komponenten x_i) abhängt und y im Allgemeinen verschiedene Komponenten y_i besitzt und nicht die Identität $\Phi_j(x) = x_i$ (für gewisse Paare (i, j) und alle $x \in D$) zutrifft. Dann gilt $N_\Phi \geq \max\{n/2, m\}$.⁶

Beweis. Die Elementaroperationen haben höchstens zwei Argumente. Zu jedem i muss es eine Elementaroperation geben, die x_i als Argument enthält, da sonst $\Phi(x)$ nicht von x_i abhängt. Damit müssen mindestens $n/2$ Elementaroperationen auftreten. Außerdem muss jedes y_j Resultat einer Elementaroperation sein, sodass ihre Anzahl $\geq m$ ist. ■

Der vom Algorithmus in Anspruch genommene Speicher (Einheit ist der Speicherbedarf einer reellen Maschinenzahl) sei mit S_Φ bezeichnet. Dabei kann in günstigen Fällen S_Φ unabhängig von n, m sein (Beispiel: Summation aus Fußnote 6), ist in ungünstigen Situationen aber aufgrund von vielen simultan auftretenden Zwischenwerten wesentlich größer.

Zur Vereinfachung beschränken wir uns auf *einen* Dimensionsparameter n (d.h. $n = m$). Viele Algorithmen haben n als Parameter, d.h. die obige Abbildung Φ wird als $\Phi_n : x \in \mathbb{R}^n \mapsto y$ geschrieben, und man betrachtet die Familie aller $\{\Phi_n : n \in \mathbb{N}\}$. Alle Aufgaben aus §1.1.1 sind von dieser Art. Damit werden N_Φ und S_Φ Funktionen von $n \in \mathbb{N}$:

$$N_\Phi(n) := N_{\Phi_n}, \quad S_\Phi(n) := S_{\Phi_n}.$$

Folglich lässt sich das Verhalten von N_Φ und S_Φ bezüglich $n \rightarrow \infty$ diskutieren. Wir benutzen das Landau⁷-Symbol \mathcal{O} : $N_\Phi(n) = \mathcal{O}(g(n))$ bedeutet, dass Konstanten K und n_0 existieren, sodass $N_\Phi(n) \leq Kg(n)$ für alle $n \geq n_0$.

Gemäß Anmerkung 1.2.1 ist $N_\Phi(n) = \mathcal{O}(n)$ die bestmögliche Abschätzung. In diesem Falle spricht man von *linearer Komplexität*.

Die Matrix-Vektor-Multiplikation $x \in \mathbb{R}^n \mapsto y := Ax \in \mathbb{R}^n$ wird im Allgemeinen mit Hilfe der Summation $y_j = \sum_{k=1}^n A_{jk}x_k$ berechnet

⁵ Falls eine sinnvolle statistische Verteilung der Argumente x definiert werden kann, lässt sich auch ein Erwartungswert $E(N_\Phi(\cdot))$ definieren.

⁶ $\max\{n/2, m\}$ kann sogar durch $\max\{n-1, m\}$ ersetzt werden (Beweishintergrund: Ein binärer Baum mit n Blättern muss außer den Blättern noch $n-1$ weitere Knoten enthalten; vgl. Lemma A.3.4). Ein Beispiel für die Anzahl $N_\Phi = n-1$ ist $\Phi(x) = \sum_{i=1}^n x_i := y \in \mathbb{R}^1$ (d.h. $m = 1$).

⁷ Edmund Georg Hermann Landau, geboren am 14. Februar 1877 in Berlin, gestorben am 19. Februar 1938 in Berlin.

und benötigt damit n^2 Multiplikationen und $n(n-1)$ Additionen. Also ist $N_{\Phi}(n) = 2n^2 - n = \mathcal{O}(n^2)$, d.h. dieser Algorithmus hat *quadratische Komplexität*.

Für die Gleichungsaufösung $b \in \mathbb{R}^n \mapsto x := A^{-1}b \in \mathbb{R}^n$ aus (1.6) lässt sich die Gauß⁸-Elimination verwenden. Sie besitzt *kubische Komplexität*: $N_{\Phi}(n) = \mathcal{O}(n^3)$. Allerdings lässt sich diese Aufgabe auch anders interpretieren. Sieht man neben $b \in \mathbb{R}^n$ die Matrix $A \in \mathbb{R}^{n \times n}$ als Eingabe an, ist $n' := n^2 + n$ die Zahl der Eingabedaten und N_{Φ} gleich $\mathcal{O}(n'^{3/2})$.

Bisher traten nur Beispiele für polynomielle Komplexität auf, d.h. $\mathcal{O}(n^p)$. In der diskreten Optimierung sind die meisten interessanten Probleme schwierig in dem Sinne, dass $N_{\Phi}(n)$ nicht polynomiell beschränkt ist und beispielsweise exponentiell in n wächst. Ein Beispiel aus der Linearen Algebra ist der nicht nachahmenswerte Versuch, $\det(A)$ für $A \in \mathbb{R}^{n \times n}$ mittels der Laplaceschen⁹ Entwicklungsformel zu berechnen. Hierfür ermittelt man $N_{\Phi}(n) = \mathcal{O}(n!)$.

Die schnelle Fourier¹⁰-Transformation $\Phi_n : x \in \mathbb{R}^n \mapsto \hat{x} \in \mathbb{R}^n$ (siehe Übung 1.4.1) benötigt den Aufwand $\mathcal{O}(n \log n)$. Da der Logarithmus nur sehr schwach ansteigt, werden wir im Folgenden von *fast linearer Komplexität* sprechen, wenn $N_{\Phi}(n) = \mathcal{O}(n \log^q n)$ für ein von n unabhängiges $q \geq 0$ gilt.

1.2.2 Warum braucht man (fast) lineare Komplexität für großskalige Probleme?

Als *großskalige Probleme* werden solche bezeichnet, die man mit maximal möglichem n berechnen möchte. Ist S_{\max} der maximal verfügbare Speicher, so kann man an der Berechnung von Φ_n mit $n_{\max} := \max\{n' : S_{\Phi}(n') \leq S_{\max}\}$ interessiert sein. Es wurde schon bemerkt, dass Diskretisierungen partieller Differentialgleichungen zu derartigen großskaligen Problemen führen.

Weiterhin nehmen wir an, dass der Speicherbedarf der Algorithmen $S_{\Phi}(n) = \mathcal{O}(n)$ beträgt.

Um zu verstehen, dass nur Algorithmen von (fast) linearer Komplexität akzeptabel sind, hat man die zeitliche Entwicklung der Rechner-technik einzubeziehen. Es ist eine empirische Beobachtung, dass sich sowohl die Speicherkapazität als auch die Rechengeschwindigkeit pro Zeiteinheit um einen konstanten Faktor verbessern. Für die folgenden Überlegungen ist es nur wichtig, dass beide um den gleichen Faktor ansteigen. Danach gibt es z.B. eine Zeitspanne Δt , in der sich der Speicher verdoppelt ($S_{\max}(t + \Delta t) = 2S_{\max}(t)$) und der Zeitbedarf für eine Elementaroperation halbiert. Das oben definierte n_{\max} ist damit auch zeitabhängig: wegen

⁸ Johann Carl Friedrich Gauß, geboren am 30. April 1777 in Braunschweig, gestorben am 23. Feb. 1855 in Göttingen.

⁹ Pierre-Simon Laplace, geboren am 23. März 1749 in Beaumont-en-Auge, Normandy, gestorben am 5. März 1827 in Paris.

¹⁰ Jean Baptiste Joseph Fourier, geboren am 21. März 1769 in Auxerre (Bourgogne), gestorben am 16. Mai 1830 in Paris.

$S_{\Phi}(n) = \mathcal{O}(n)$ gilt $n_{\max}(t + \Delta t) = 2n_{\max}(t)$. Auf einem Rechner zur Zeit $t + \Delta t$ berechnet man die Aufgabe mit dem gestiegenen n_{\max} . Die Zahl der Operationen ist

$$N_{\Phi}(n_{\max}(t + \Delta t)) = N_{\Phi}(2n_{\max}(t)).$$

Es sei nun eine polynomielle Komplexität $\mathcal{O}(n^p)$ angenommen. Dann ist $N_{\Phi}(n_{\max}(t + \Delta t)) = N_{\Phi}(2n_{\max}(t)) \approx 2^p N_{\Phi}(n_{\max}(t))$, d.h. der Aufwand steigt um den Faktor 2^p . Da gleichzeitig die Rechengeschwindigkeit verdoppelt ist, steigt die benötigte Rechenzeit nur um $2^p/2 = 2^{p-1}$.

Hieraus ergibt sich der folgende Schluss. Falls $p > 1$, benötigt der neue Rechner eine um den Faktor $2^{p-1} > 1$ vergrößerte Rechenzeit. Nur falls $p = 1$, bleibt die Rechenzeit konstant. Damit “überleben” nur die Algorithmen mit linearer Komplexität (wieder gilt, dass fast lineare Komplexität tolerierbar ist; hierbei steigt die Rechenzeit nur um eine additive Größe).

Es ist offenbar, dass ein zu großer Speicherbedarf die Verwendung eines Algorithmus ausschließt. Dies gilt aber auch hinsichtlich der Rechendauer. Für große n liegen die Rechenzeiten bei linearer und quadratischer Komplexität um den Faktor $\mathcal{O}(n)$ auseinander. Schon bei $n = 500\,000$ – einer Dimension, die heute durchaus auftritt – ist dies der Quotient zwischen einer Minute und einem Jahr.

1.3 Zugrundeliegende Strukturen und Implementierungsdarstellungen

Es gibt viele Aufgaben, für deren Lösung man in allgemeinen Fall keinen befriedigenden Algorithmus kennt; trotzdem können Spezialfälle¹¹ gut lösbar sein. Für eine gute Implementierung ist es wesentlich, dass die zugrundeliegenden Strukturen ausgenutzt werden.

1.3.1 Vektor- und Matrixnotation

Zunächst wird eine mathematische Notation eingeführt. Anstelle von $x \in \mathbb{R}^n$ verwenden wir die präzisere Schreibweise

$$x = (x_i)_{i \in I} \in \mathbb{R}^I, \tag{1.10a}$$

wobei I die zugrundeliegende (nicht notwendigerweise angeordnete) endliche Indexmenge ist. Wenn die Schreibweise \mathbb{R}^n verwendet wird, so ist sie ein Sammelbegriff für alle \mathbb{R}^I mit $\#I = n$. Hierbei bezeichnet das Symbol $\#$ die Elementanzahl (Kardinalität) einer Menge.

Analog zur Schreibweise \mathbb{R}^I für die Vektormenge, schreiben wir

¹¹ Die meisten in der Praxis auftretenden und zu lösenden Aufgaben sind in dem Sinne Spezialfälle, als sie spezifische Strukturen enthalten. Spezialfälle sind daher eher die Regel als die Ausnahme!

$$M \in \mathbb{R}^{I \times J} \quad (1.10b)$$

für Matrizen $(M_{i,j})_{i \in I, j \in J}$. Die sonst übliche Schreibweise $\mathbb{R}^{n \times m}$ wird als Sammelbegriff für alle Mengen $\mathbb{R}^{I \times J}$ mit $\#I = n$ und $\#J = m$ benutzt.

1.3.2 Implementierungsdarstellungen

Auch wenn ein mathematisches Objekt eindeutig definiert ist, so erlaubt es doch viele Darstellungen für die Implementierung auf dem Rechner. Jede der Darstellungen kann für Spezialfälle besonders vorteilhaft sein. Umgekehrt findet man selten Darstellungen, die in jedem Fall optimal sind. Die gewählte Darstellung ist einerseits wichtig für die Abspeicherung der Daten und bestimmt den Speicheraufwand. Andererseits werden mathematische Objekte mittels Operationen verknüpft, was je nach Wahl der Darstellung zu mehr oder weniger Rechenaufwand führen kann. Im Folgenden geben wir einige Beispiele für Implementierungsdarstellungen von Vektoren (§§1.3.2.1-1.3.2.3) und Matrizen (§§1.3.2.4-1.3.2.12). Außerdem werden Begriffe eingeführt, die später benötigt werden.

1.3.2.1 Voller Vektor

Die naheliegende Darstellung eines Vektors $x \in \mathbb{R}^I$ ist ein Tupel $(x_i)_{i \in I}$ von **real**-Maschinenzahlen, wobei das Tupel entweder als **array** oder als Liste organisiert ist (auch die Information über I sollte verfügbar sein). Der damit verbundene Speicherplatz ist $S = \mathcal{O}(\#I)$. Diese Darstellung kann als **Voller_Vektor**(I) bezeichnet werden (falls $I = \{1, \dots, n\}$, auch **Voller_Vektor**(n) genannt).

Anmerkung 1.3.1. Ein Skalarprodukt $(x, y) = \sum_{i \in I} x_i y_i$ zweier voll besetzter Vektoren $x, y \in \mathbb{R}^I$ kostet $2\#I - 1$ Operationen.

1.3.2.2 Schwach besetzter Vektor

Eine Alternative könnte ein schwach besetzter Vektor sein. Wenn nur ein kleiner Teil der Komponenten x_i von $x \in \mathbb{R}^I$ ungleich null ist, stellt dies eine Struktur dar, die man ausnutzen kann. Es wird eine Liste von Paaren

$$((i_1, x_{i_1}), (i_2, x_{i_2}), \dots, (i_p, x_{i_p}))$$

mit $0 \leq p \leq \#I$ abgespeichert, die alle Nicht-Null-Komponenten enthält. Falls die Indizes angeordnet sind, sollte zudem $i_1 < i_2 < \dots < i_p$ vorausgesetzt werden. Dies definiert die Darstellung **Duenner_Vektor**(I). In diesem Format lässt sich z.B. ein Einheitsvektor als das 1-Tupel $(i, 1)$ darstellen, hat also einen von n unabhängigen Speicheraufwand.

1.3.2.3 Blockvektor

Da die *Partition* einer Indexmenge auch später eine wichtige Rolle spielen wird, geben wir eine ausdrückliche Definition:

Definition 1.3.2 (Partition). *I sei eine endliche Indexmenge. P ist eine Partition von I , falls $P = \{I_1, \dots, I_p\} \subset \mathcal{P}(I) \setminus \{\emptyset\}$ (\mathcal{P} : Potenzmenge) die Eigenschaften*

$$I_i \cap I_j = \emptyset \text{ für } i \neq j \text{ (Disjunktheit), } I = \bigcup_{j=1}^p I_j \text{ (Vollständigkeit)} \quad (1.11)$$

besitzt. Die angeordnete Menge $\{1, \dots, p\}$ kann auch durch eine nicht angeordnete Indexmenge K ersetzt werden: $P = \{I_\iota : \iota \in K\}$.

Der *Vektorblock* von $x \in \mathbb{R}^I$ zu $\tau \in P$ ist

$$x|_\tau := (x_i)_{i \in \tau} \in \mathbb{R}^\tau. \quad (1.12)$$

Eine Darstellung von x als *Blockvektor*¹² ist durch $x = (x|_{I_j})_{j=1, \dots, p}$ gegeben. Jeder Vektorblock kann eine der bisher beschriebenen Darstellungen haben.

Während $x \in \mathbb{R}^I \mapsto x|_{I'} \in \mathbb{R}^{I'}$ ($I' \subset I$) der Übergang zu einem Vektorblock ist, tritt auch der umgekehrte Prozess auf:

Definition 1.3.3 (Einbettung, Agglomeration). *a) Seien $\tau \subset I$ und $z \in \mathbb{R}^\tau$. Die Einbettung von z in \mathbb{R}^I geschieht mittels*

$$x := z|^I \in \mathbb{R}^I, \text{ wobei } x_i := \begin{cases} z_i & \text{für } i \in \tau, \\ 0 & \text{sonst.} \end{cases} \quad (1.13)$$

b) Seien $I_1, I_2 \in P$ zwei verschiedene Indexblöcke einer Partition von I und $y \in \mathbb{R}^{I_1}$, $z \in \mathbb{R}^{I_2}$. Dann wird die Summe $x := y|^{I_1} + z|^{I_2}$ auch als Agglomeration von y und z bezeichnet.

Man beachte, dass im zweiten Fall I_1 und I_2 disjunkt sind. Die Agglomeration des Blockvektors durch seine Vektorblöcke schreibt sich nun als $x = \sum_j (x|_{I_j})|^I$.

1.3.2.4 Volle Matrix

Matrizen können viele verschiedene Strukturen besitzen, die auf verschiedenen Ebenen ausgenutzt werden können. Die primitivste Form, die keine Strukturen aufzeigt, ist die Darstellung als volle Matrix, die in der Form `Volle_Matrix(I, J) = array(I) of Voller_Vektor(J)` konstruiert werden könnte, d.h. jede der $\#I$ Zeilen ist als voller Vektor wie oben dargestellt. Der Speicheraufwand ist $S = \#I \#J$.

¹² Man beachte den Unterschied von *Vektorblock* und *Blockvektor*. Ein Vektorblock ist ein Teilvektor zur Indexmenge I_j , ein Blockvektor dagegen der Gesamtvektor mit einer Blockstruktur.

Anmerkung 1.3.4. a) Seien $M \in \mathbb{R}^{I \times J}$ eine volle Matrix und $x \in \mathbb{R}^J$. Die Matrix-Vektor-Multiplikation $M \cdot x$ kostet $\#I(2\#J - 1)$ Operationen.

b) Seien $A \in \mathbb{R}^{I \times J}$ und $B \in \mathbb{R}^{J \times K}$ zwei volle Matrizen. Die Matrix-Matrix-Multiplikation $A \cdot B$ kostet $\#I\#K(2\#J - 1)$ Operationen.

Beweis. Die obigen Berechnungen erfordern a) $\#I$ bzw. b) $\#I\#K$ Skalarprodukte von J -Vektoren. ■

Übung 1.3.5. Das Produkt dreier Matrizen $A \in \mathbb{R}^{I \times J}$, $B \in \mathbb{R}^{J \times K}$ und $C \in \mathbb{R}^{K \times L}$ ist wegen der Kommutativität auf zwei Arten berechenbar: als $A \cdot (B \cdot C)$ oder $(A \cdot B) \cdot C$. Sind die Kosten gleich? Falls nicht, was ist billiger?

1.3.2.5 Schwach besetzte Matrix

Die Finite-Element-Diskretisierung von partiellen Differentialgleichungen liefert schwach besetzte Matrizen, das heißt, jede Zeile enthält nur wenige Nicht-Null-Einträge. Hier bietet sich das Format `array(I) of Duenner_Vektor(J)` an. Wenn, wie in diesem Beispiel, die Zahl der Nicht-Null-Einträge unabhängig von $\#J$ beschränkt ist, beträgt der Speicheraufwand $S = \mathcal{O}(\#I)$.

1.3.2.6 Bandmatrix

Spezielle schwach besetzte Matrix sind die Bandmatrizen, bei denen $I = J = \{1, 2, \dots, n\}$ eine angeordnete Indexmenge ist und die Nicht-Null-Einträge auf die Positionen (i, j) mit $|i - j| \leq b$ beschränkt sind (b : Bandbreite). Pro Zeile sind $2b + 1$ Zahlen (z.B. im Format `Voller_Vektor(2b + 1)`) abzulegen, sodass der Speicheraufwand $S = n(2b + 1) = \mathcal{O}(bn)$ ist. Für $b = 1$ erhält man als Spezialfall die *tridiagonalen* Matrizen. Der Fall $b = 0$ wird nachfolgend behandelt.

1.3.2.7 Diagonalmatrix

Der angenehmste Fall ist die Diagonalmatrix $A = \text{diag}\{a_{ii} : i \in I\}$. Hier enthält die Darstellung mittels `Voller_Vektor(I)` alle notwendigen Daten. Der Speicheraufwand ist $S = n$.

1.3.2.8 Toeplitz-Matrix

Seien $I = \{1, \dots, n\} \subset \mathbb{Z}$ und $J = \{1, \dots, m\} \subset \mathbb{Z}$. Bei einer Toeplitz¹³-Matrix A hängen die Einträge A_{ij} nur von der Differenz $i - j$ ab, d.h. in der Diagonalen sowie in jeder Nebendiagonalen stehen identische Werte:

¹³ Otto Toeplitz, geboren am 1. August 1881 in Breslau, gestorben am 15. Februar 1940 in Jerusalem. Er war Ordinarius an den Universitäten Kiel (bis 1928) und Bonn (bis 1933).

$$A = \begin{bmatrix} a_0 & a_1 & \dots & a_{n-1} \\ a_{-1} & a_0 & a_1 & \dots \\ \vdots & \ddots & \ddots & \ddots \\ a_{1-n} & \dots & a_{-1} & a_0 \end{bmatrix} \quad (\text{Toeplitz-Matrix für } n = m).$$

Für $i \in I, j \in I$ variiert $i - j$ in der Differenzmenge $K := \{1 - m, \dots, n - 1\}$. Mit `Voller_Vektor(K)` werden die notwendigen Daten $(a_k)_{k \in K}$ bereitgestellt. Der Speicheraufwand beträgt $S = \#I + \#J - 1$.

1.3.2.9 Zirkulante Matrix

Ein Spezialfall einer quadratischen Toeplitz-Matrix ist die zirkulante Matrix. Hier hängt A_{ij} nur von der Differenz $i - j \text{ modulo } n$ ab:

$$A = \begin{bmatrix} a_0 & a_1 & & a_{n-1} \\ a_{n-1} & a_0 & a_1 & \\ & \ddots & \ddots & \ddots \\ a_1 & & a_{n-1} & a_0 \end{bmatrix}. \quad (1.14)$$

Da die Werte (a_0, \dots, a_{n-1}) eine zirkulante Matrix vollständig charakterisieren, ist die Darstellung `Voller_Vektor(n)` möglich und benötigt den Speicheraufwand $S = n$.

1.3.2.10 Rang- k -Matrix

Falls eine Matrix $A \in \mathbb{R}^{I \times J}$ einen Rang $\leq k$ besitzt, gibt es eine Faktorisierung

$$A = B \cdot C^T \quad \text{mit } B \in \mathbb{R}^{I \times \{1, \dots, k\}}, C \in \mathbb{R}^{J \times \{1, \dots, k\}}, \quad (1.15)$$

die hilfreich ist, wenn $k \ll \min\{\#I, \#J\}$, d.h. wenn

$$B = \begin{bmatrix} \\ \\ \\ \\ \end{bmatrix}, \quad C^T = \begin{bmatrix} & & & & \end{bmatrix}$$

schmale Formate haben. Die Darstellung `Rang(k)Matrix(I, J)` besteht aus dem Paar von `Volle_Matrix(I, K)` und `Volle_Matrix(J, K)`, wobei $K = \{1, \dots, k\}$. Der Fall $k = 0$ ist als Null-Matrix zu interpretieren.

Der Speicheraufwand im Falle des Formates `Rang(k)Matrix(I, J)` ist $S = k(\#I + \#J)$.

Im Namen "Rang- k -Matrix" ist k eine freie Variable, sodass auch von einer Rang- ℓ -Matrix oder Rang-16-Matrix gesprochen werden kann.

1.3.2.11 Blockmatrix

Was die Abspeicherung betrifft, könnte eine Matrix aus $\mathbb{R}^{I \times J}$ als ein Vektor zur Indexmenge $I \times J$ behandelt werden. Die zusätzliche Produktstruktur von $I \times J$ wird jedoch in der folgenden Definition der Blockpartition berücksichtigt (vgl. Definition 1.3.2).

Definition 1.3.6 (Blockpartitionierung). *Seien I und J endliche Indexmengen. $P = \{b_1, \dots, b_p\} \subset \mathcal{P}(I \times J) \setminus \{\emptyset\}$ ist eine Blockpartition von $I \times J$, falls*

$$\begin{aligned} \text{für alle } i \in \{1, \dots, p\} \text{ ist } b_i &= I' \times J' \text{ mit } I' \subset I, J' \subset J \text{ (Produktstruktur),} \\ b_i \cap b_j &= \emptyset \text{ für } i \neq j \text{ (Disjunktheit),} \\ I \times J &= \bigcup_{j=1}^p b_j \text{ (Vollständigkeit).} \end{aligned}$$

Ein Beispiel einer Blockpartition sieht man in (3.3). Häufig wird eine wesentlich speziellere Blockpartition verwendet:

Anmerkung 1.3.7. Seien P_I und P_J Partitionen von I und J im Sinne von Definition 1.3.2. Dann definiert

$$P := \{b = \tau \times \sigma : \tau \in P_I, \sigma \in P_J\}$$

die von P_I und P_J erzeugte *Tensor-Blockpartition* von $I \times J$.

b wird *Indexblock* (oder kürzer: *Block*) genannt. Die mittels einer Blockpartition strukturierte Matrix wird kurz als *Blockmatrix* bezeichnet. Der Name *Matrixblock* wird dagegen für die Untermatrix verwendet, die einem Block $b \in P$ entspricht. Wir führen hierfür die folgende Notation ein:

$$M|_b := (M_{ij})_{(i,j) \in b} \in \mathbb{R}^b \quad \text{für ein } b \in P. \quad (1.16)$$

Die Blockmatrix kann demnach in der Form $M = (M|_b)_{b \in P}$ geschrieben werden. Jeder Matrixblock kann eine der bisher beschriebenen Darstellungen haben.

In völliger Analogie zu Definition 1.3.3 formulieren wir die

Definition 1.3.8 (Einbettung, Agglomeration). *Sei eine Blockpartition P von $I \times J$ gegeben. a) Seien $b \in P$ und $Z \in \mathbb{R}^b$. Die Einbettung von Z in $\mathbb{R}^{I \times J}$ geschieht mittels*

$$M := Z|^{I \times J} \in \mathbb{R}^{I \times J}, \text{ wobei } M_{i,j} := \begin{cases} Z_{i,j} & \text{für } (i,j) \in b, \\ 0 & \text{sonst.} \end{cases} \quad (1.17)$$

b) Seien $b_1, b_2 \in P$ zwei disjunkte Indexblöcke und $Y \in \mathbb{R}^{b_1}$, $Z \in \mathbb{R}^{b_2}$. Dann wird die Summe $M := Y|^{I \times J} + Z|^{I \times J}$ auch als *Agglomeration* von Y und Z bezeichnet.